

CA研\_P01  
2018\_01.09

## 2000年三宅島噴火・傾斜ステップに伴う地磁気変化に関する諸問題

笹井洋一(東海大・海洋研)・上嶋誠(東大・地震研)・Jacques ZLOTNICKI(CNRS・仏)・  
Malcolm J. S. JOHNSTON(USGS・合衆国)

### 要旨

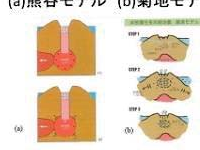
2000年三宅島噴火のカルデラ形成に伴った傾斜ステップは、それに付随して自然電位と地磁気の変化が観測された。この地磁気変化の発生機構については依然として決着がついていない。Kuwano et al. (2015)はステップに伴った自然電位変化は垂直な開口クラックで誘起された多孔質弹性体中の地下水流动に伴う界面導電現象であるとした。我々はKuwanoモデルに対応する地磁気変化の原因を探っており、昨年のCA研究会・SEPPSS秋大会で発表した。特に三宅島東部の2観測点MKKとMKTのフラックスゲート(FG)磁力計3成分の変化は、ダイクによるピエゾ磁気効果だけでなく、地球磁場の中でFG磁力計が回転する傾動効果を加えるとうまく説明できそうなことが判明した。傾動の効果は垂直なダイク上端の深さや長さ・幅・走行などから計算できる。そこでOkada(1985)のプログラムを用いて傾動効果を求めた。一方傾斜ステップに伴う地磁気変化量についてはUSGSの地殻運動研究グループが開発したソフトを用いて算出した。ダイクの形状を記述する様々なパラメータのうち、ダイク中央の位置、ダイクの水平走行は菊池・他(2001)のモーメント・テンソル解析から精度良く求められている。そこでダイク上端の深さ(D), 長さ(RL), 幅(W)および開口量(DU)を地磁気データから決定することにする。未知量は4つであるのに対し、観測量はプロトント磁力計点の全磁力値個とFG点2か所の3成分値6個の計12である。解析解の分かっているモデルについて、複数のパラメータをそれより多い観測点での観測量から求めるには遺伝的アルゴリズム(GA)を適用することが出来る。

### 傾斜ステップとは？山頂方向への急激な傾斜変化(膨張)

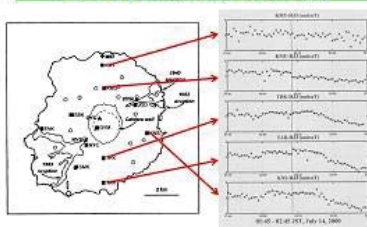


- カルデラ形成期間(7月8日～8月18日最大噴火)：1日1～2回発生
- 発生時間は開始から停止まで約50秒でイベント毎にほぼ一定
- After Ueda et al. (2001)

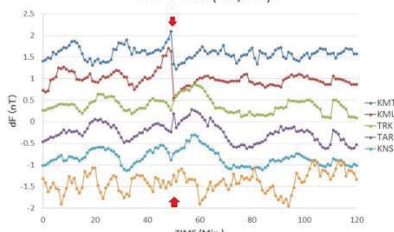
### 傾斜ステップ：2つのモデル



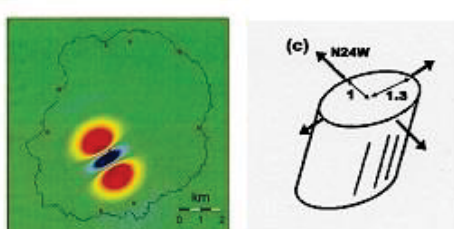
### 7月14日の傾斜ステップに伴う全磁力変化(北で負・南で正)



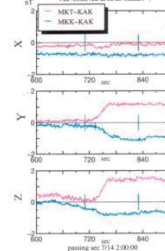
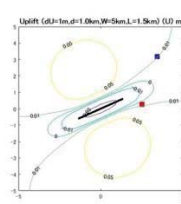
MYK-HJJ (07/14)



### 傾斜ステップの力源モデル (左)SPのソース (右)モーメント解



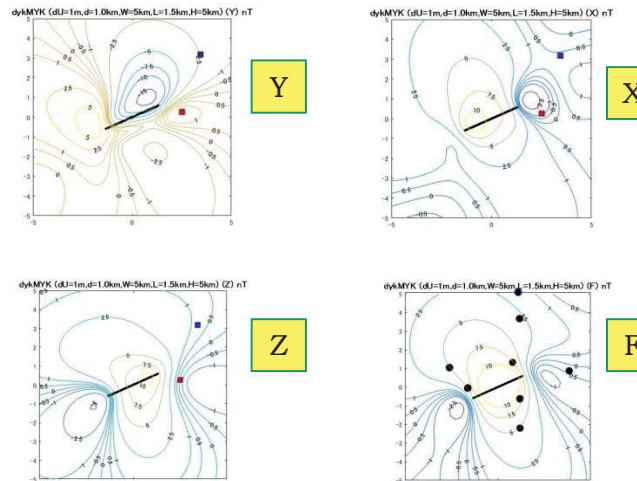
### 開口断層による地表変位(左)と 三宅島北東(MKK)および南東(MKT)部における地磁気3成分変化(右)



### FG磁力計の回転に伴う見掛けの変化について

$$\begin{aligned} \text{上式の左側は } f_{\text{obs}}(X_0, Y_0, Z_0) \text{ の } e_x^{\alpha}, e_y^{\alpha}, e_z^{\alpha} \text{ 方向への投影 } F_\alpha^{\text{obs}} \text{ は} \\ e_x^{\alpha} = X_0 \cos \alpha + Z_0 \sin \alpha \\ e_y^{\alpha} = Y_0 \cos \alpha + Z_0 \sin \alpha \\ e_z^{\alpha} = X_0 \sin \alpha - Y_0 \cos \alpha + Z_0 \cos \alpha \cos \beta \\ \text{ここで } \alpha \text{ と } \beta \text{ が少しある場合に} \\ e_x^{\alpha} = (\cos \alpha, 0, \sin \alpha) \quad (1) \\ \text{同様に } Y_0 \text{ 方向にある傾きベクトル } e_y^{\alpha} = (0, 1, 0) \text{ の傾きを持たないとする。そのベクトル} \alpha \text{ と } \beta \text{ が少しある場合に} \\ e_y^{\alpha} = (0, \cos \beta, \sin \beta) \quad (2) \\ \text{更に } e_x^{\alpha} \text{ と } e_y^{\alpha} \text{ の両方間に直角な傾きベクトル } e_z^{\alpha} \text{ となる} \\ e_z^{\alpha} = e_x^{\alpha} \times e_y^{\alpha} = (-\sin \alpha \cos \beta, -\sin \alpha \sin \beta, \cos \alpha) \quad (3) \\ e_x^{\alpha} \text{ と } e_y^{\alpha} \text{ は } e_z^{\alpha} \text{ に直交していない} \quad (e_x^{\alpha} \times e_y^{\alpha} = -\sin \alpha \cos \beta, 0) \text{ ただし } \sin \alpha \cos \beta \approx 0.37 \\ \text{おまかで、傾き角 } \alpha, \text{ 倾き角 } \beta = (2\pi)^{-1} \text{ とすると, } e_x^{\alpha} \times e_y^{\alpha} = 10^{-12} \text{ と } e_z^{\alpha} \text{ が } 10^{-12} \text{ と近似} \end{aligned}$$

$dU=1m, d=1km, W=5km, L=1.5km, H=5km$



3成分データには磁力計傾動による見掛け変化が含まれる。力源を開口クラックで近似した場合にピエゾ磁気効果と傾動効果の和で観測を説明できると期待される。